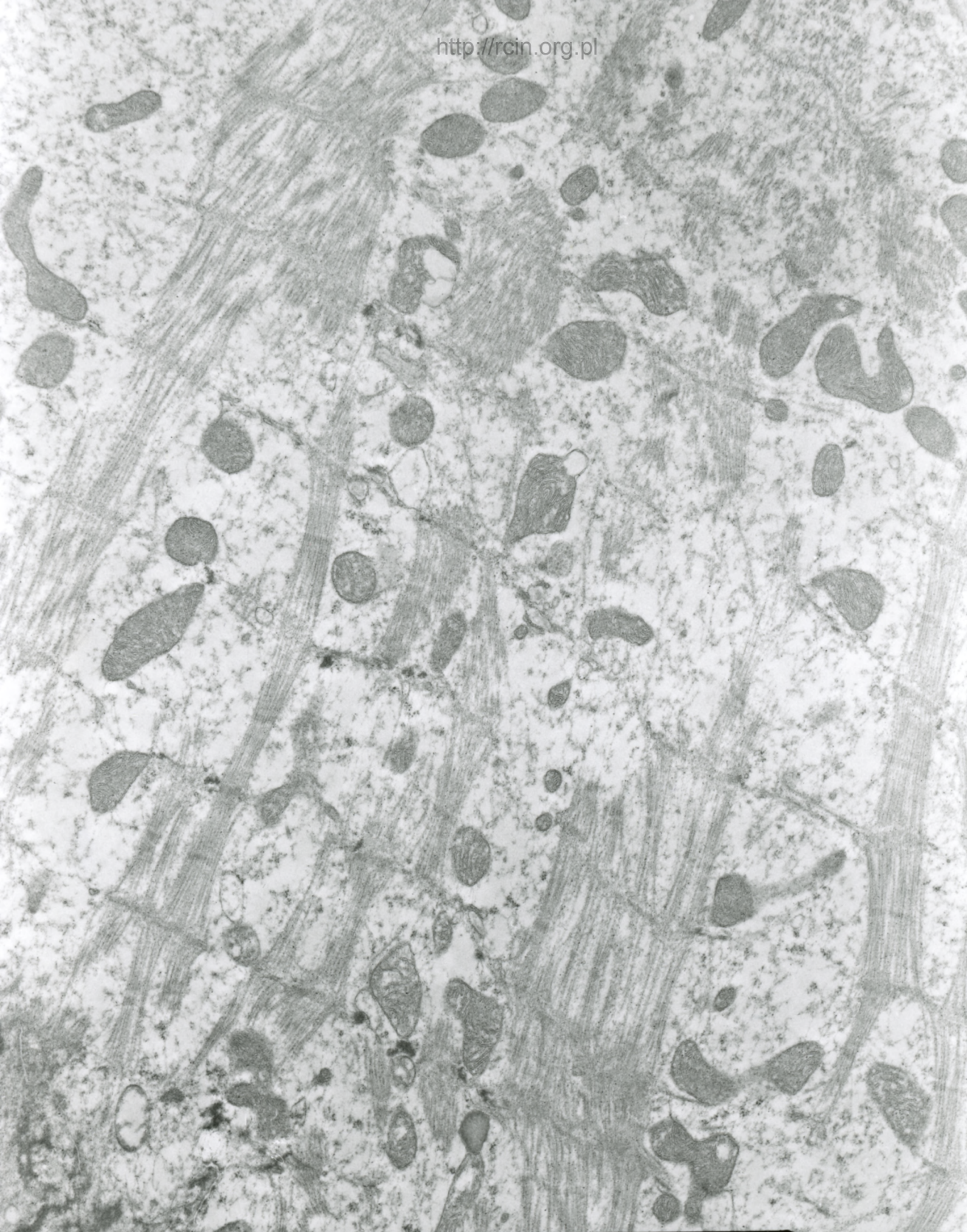


AF 27/03/serce  
3R6976 80.0KV #X4000 2P

Fig. 1

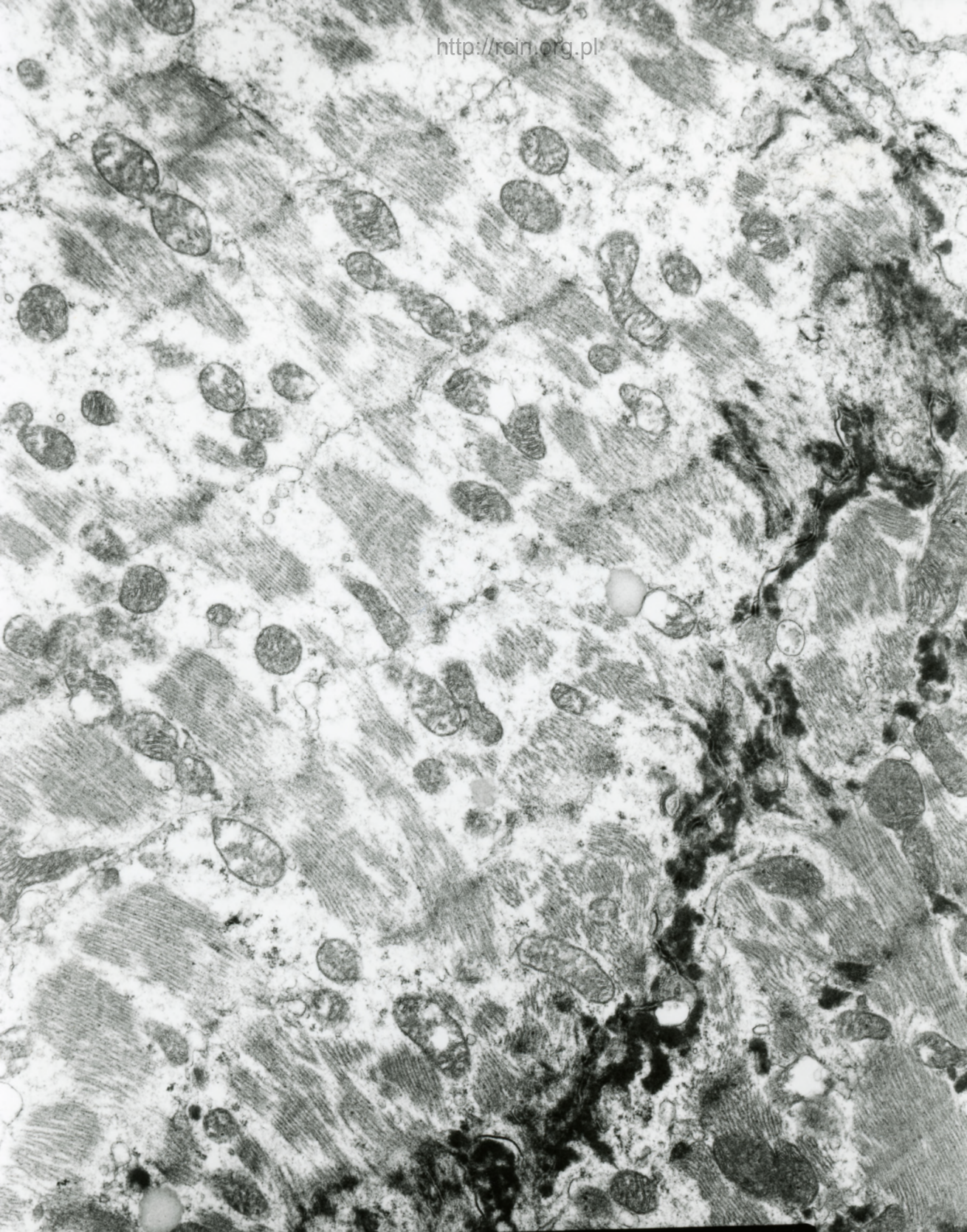




AF 27/03/a/serce  
3R6942 80.0KV 1X5000 1P

Fig. 2

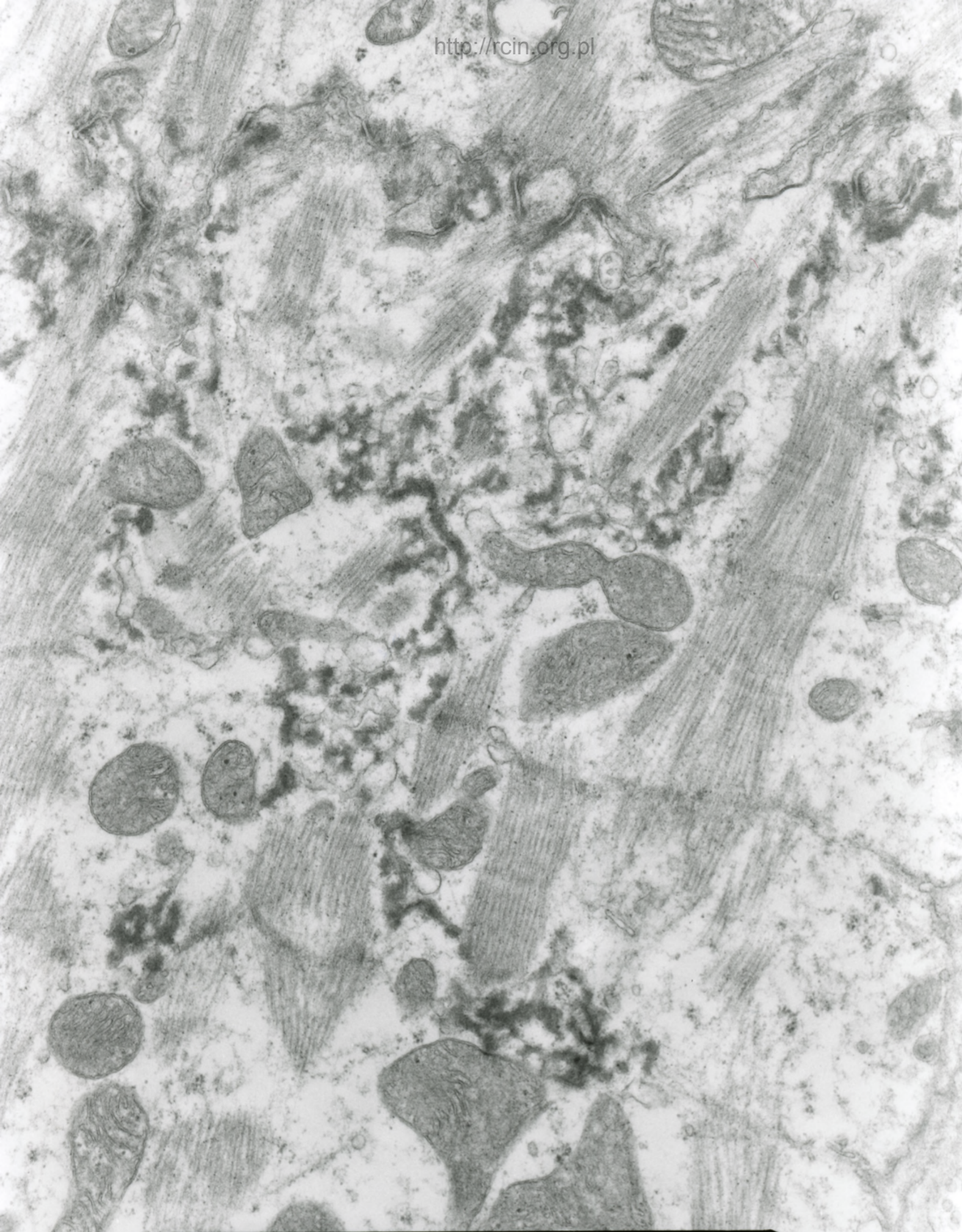




AF 27/03/serce  
3R6973 00.0KV 1X6000 1P

Fig. 3

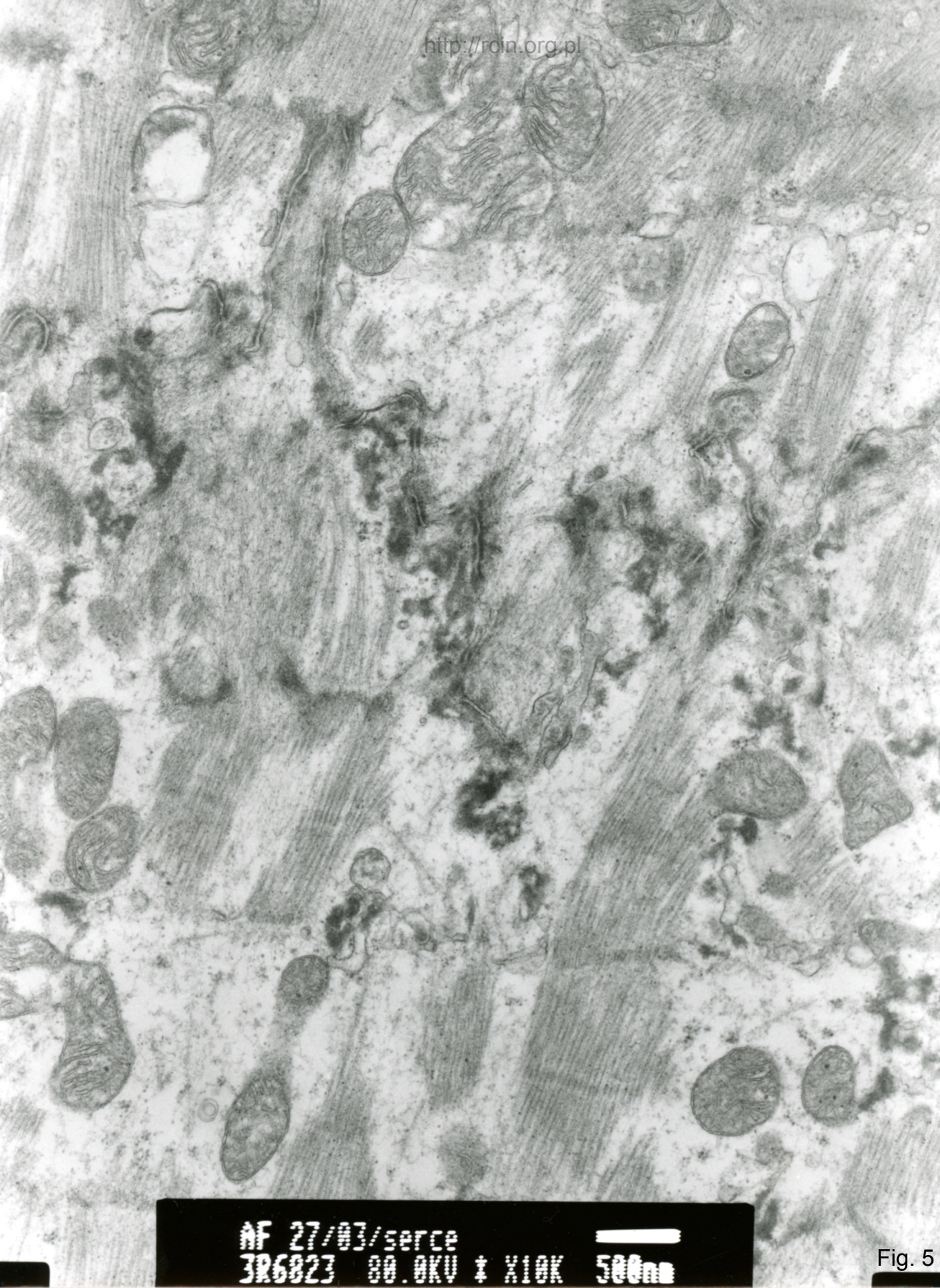




AF 27/03/serce  
386822 80.0KV X10K 500nm

Fig. 4

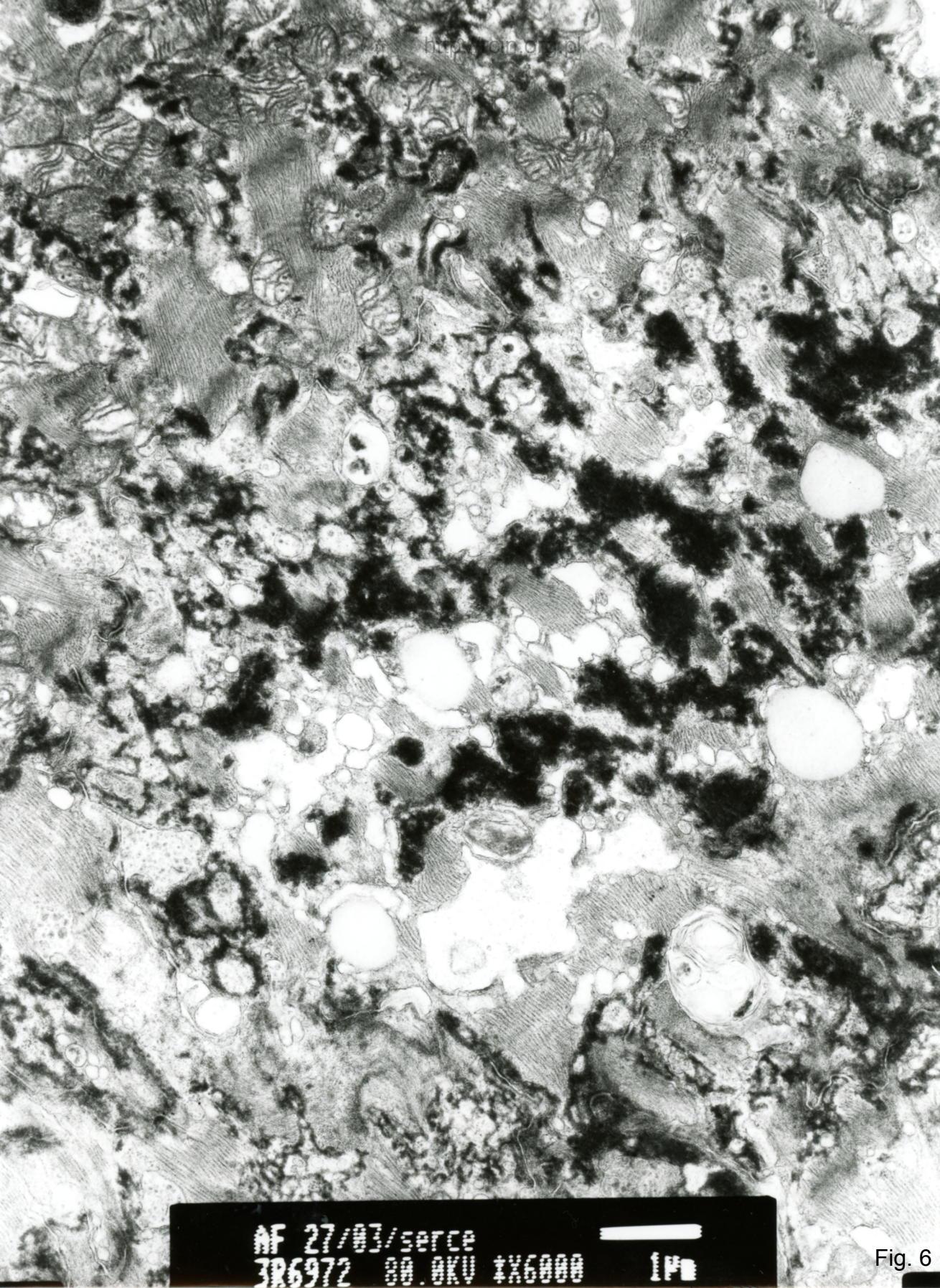




AF 27/03/serce  
3R6823 80.0KV ± X10K 500nm

Fig. 5

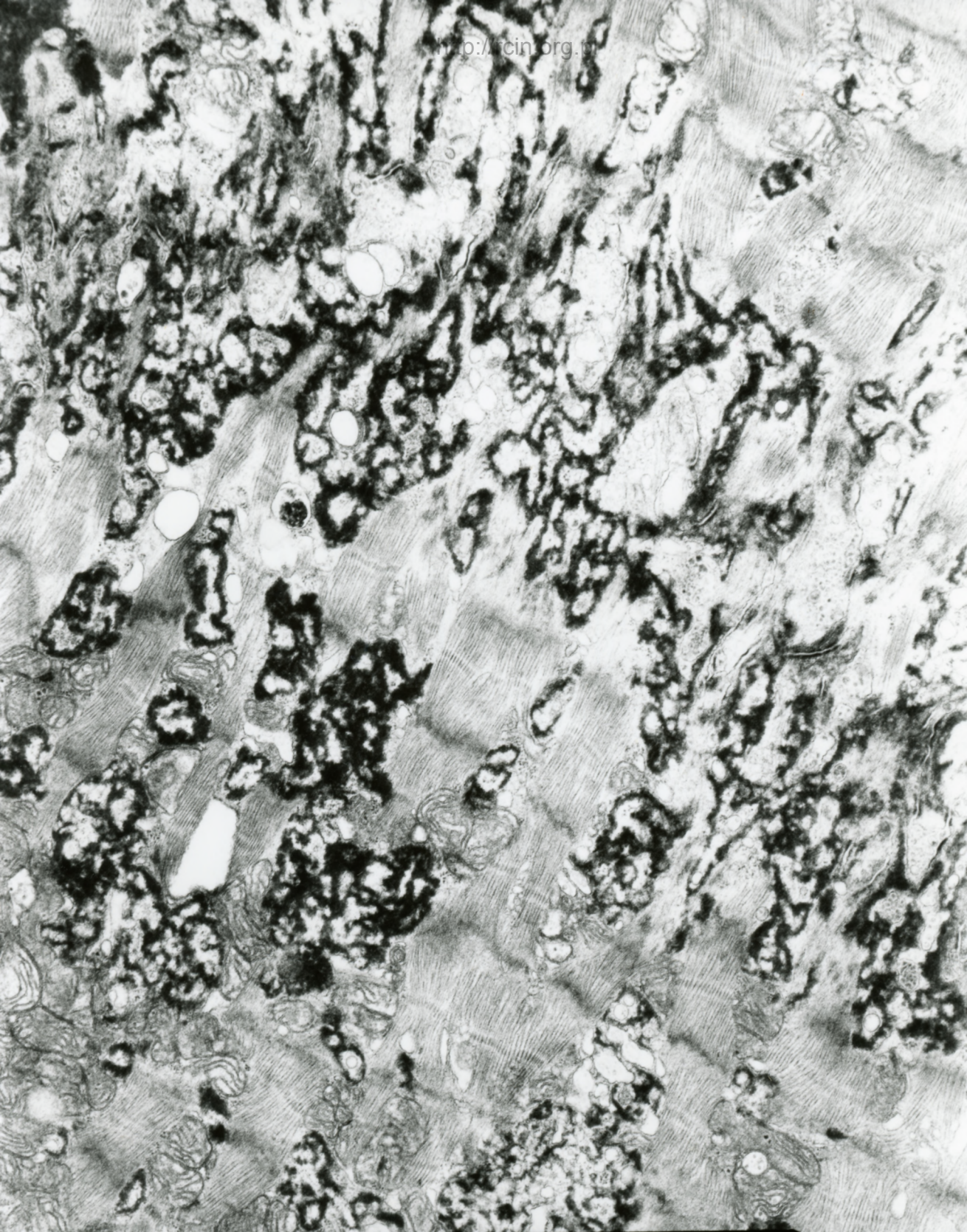




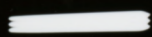
AF 27/03/serce  
3R6972 80.0KV 1X6000 1P

Fig. 6





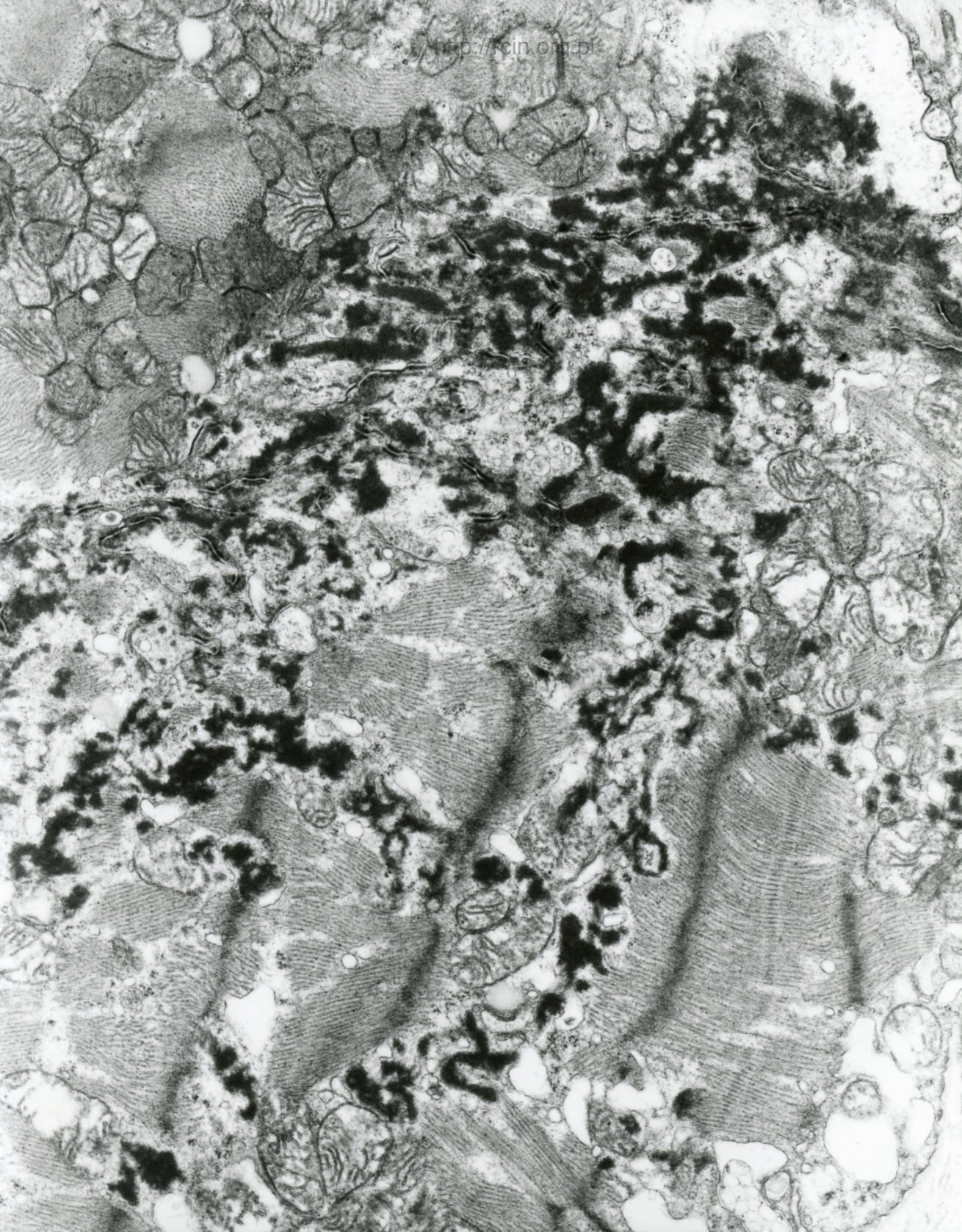
AF 27/03/serce  
3P6977 80.0KV 1X6000



1µm

Fig. 7

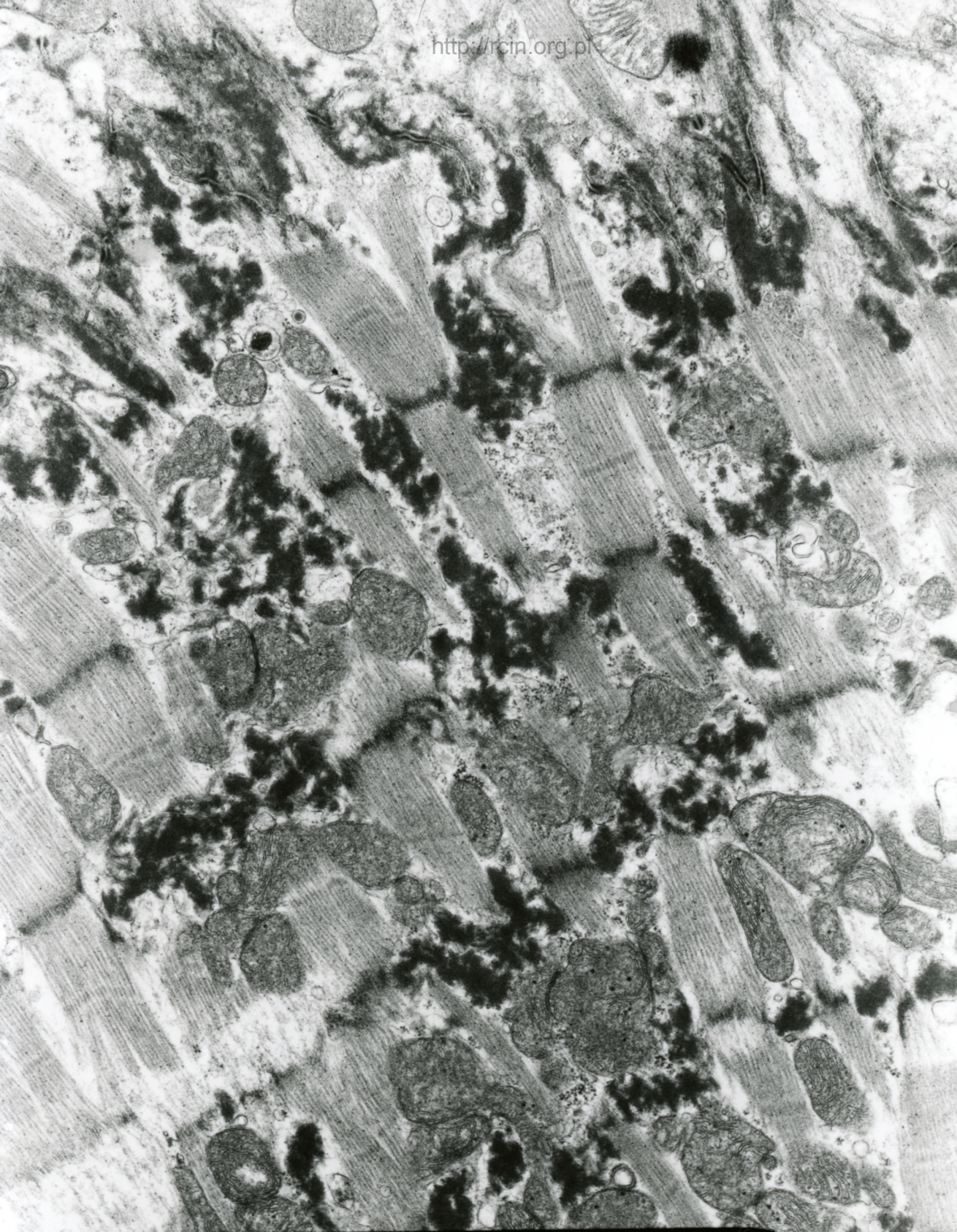




AF 27/03/SERCE  
074150 80.0KV X7500

Fig. 8





AF 27/03/SERCE  
074157 80 AKU X7500

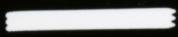
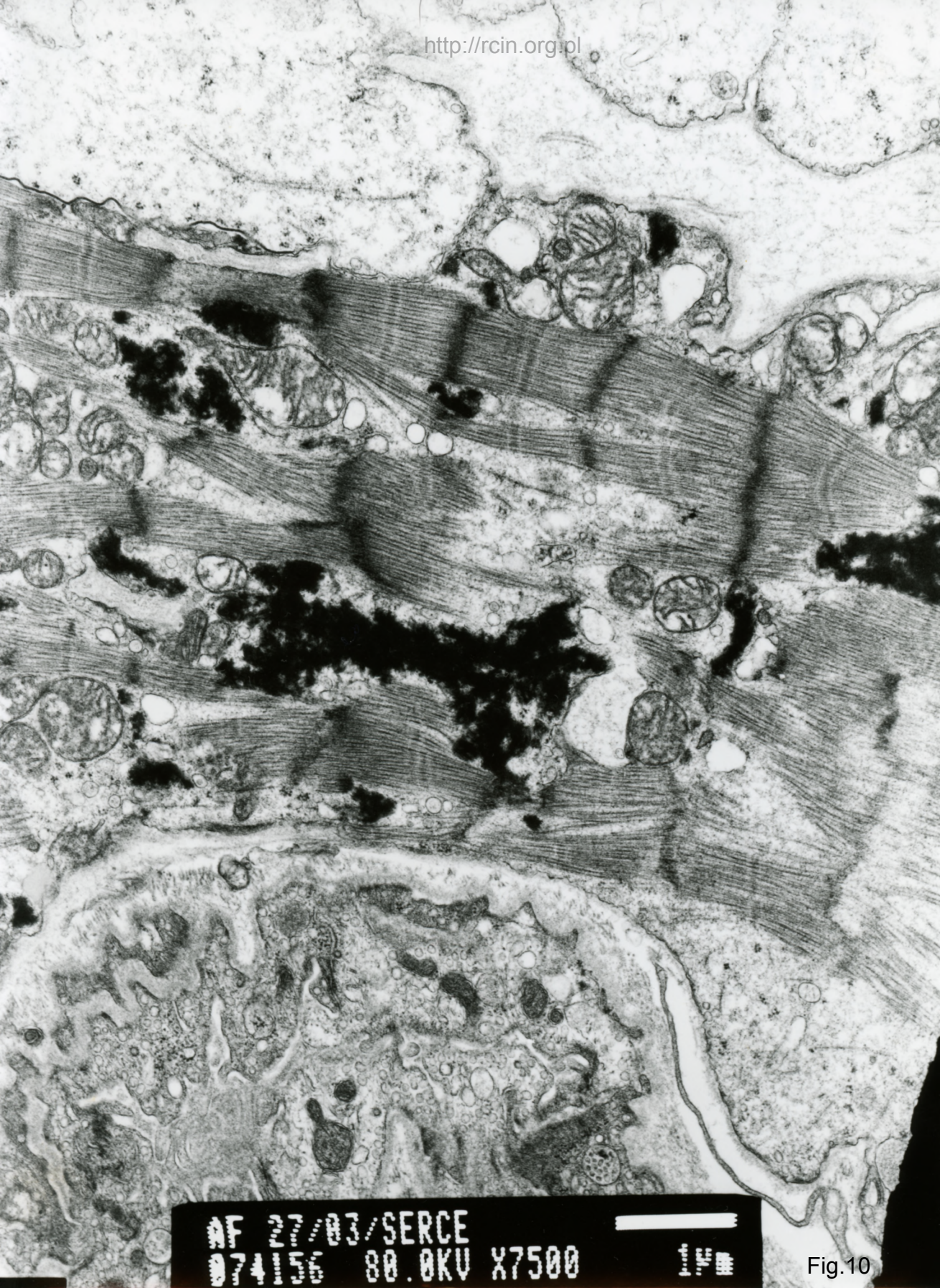
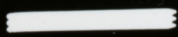


Fig. 9





AF 27/03/SERCE  
074156 80.0KV X7500



1µm

Fig.10

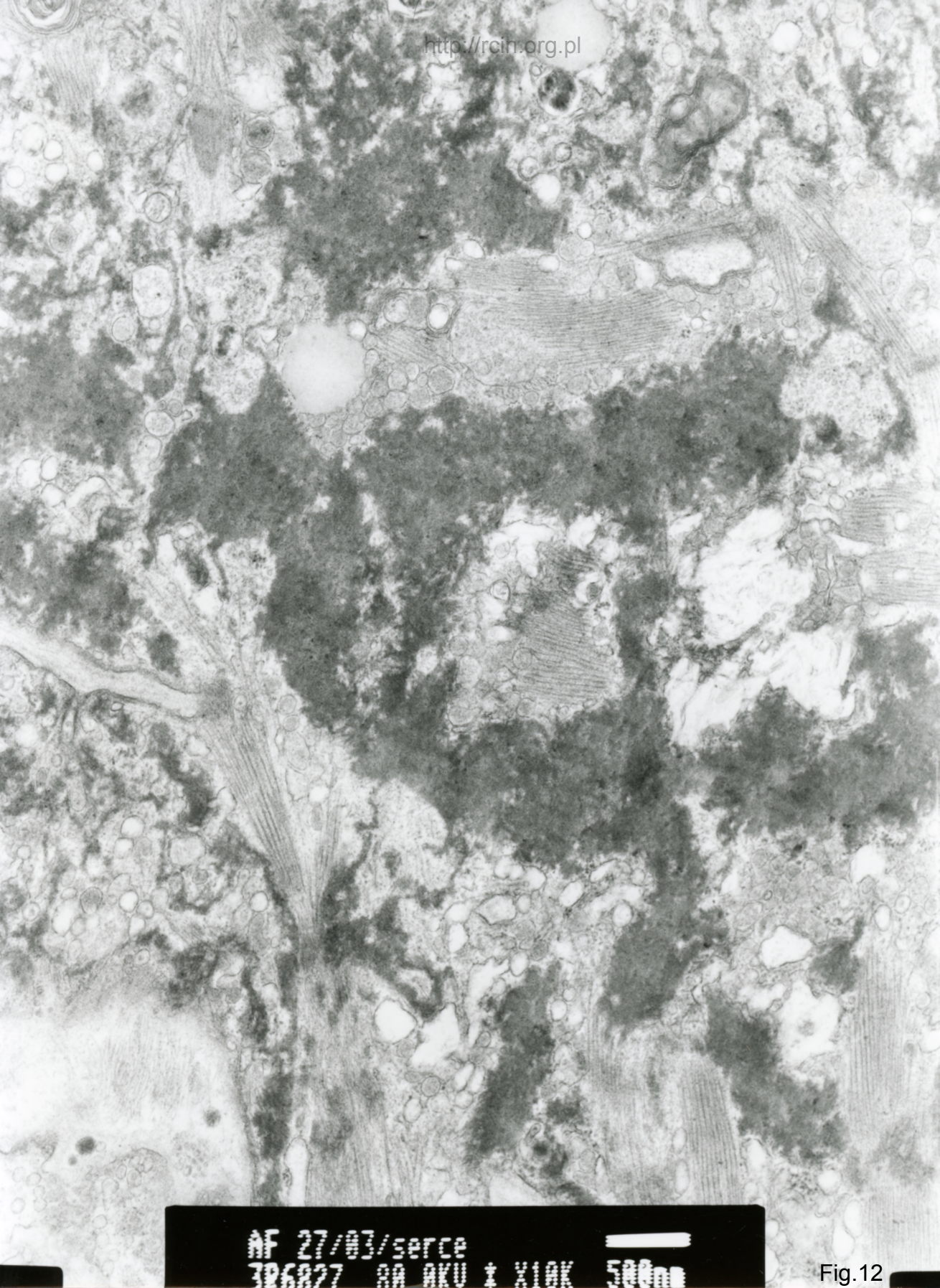




AF 27/03/SERCE  
074154 80 AKU X10K 500nm

Fig.11

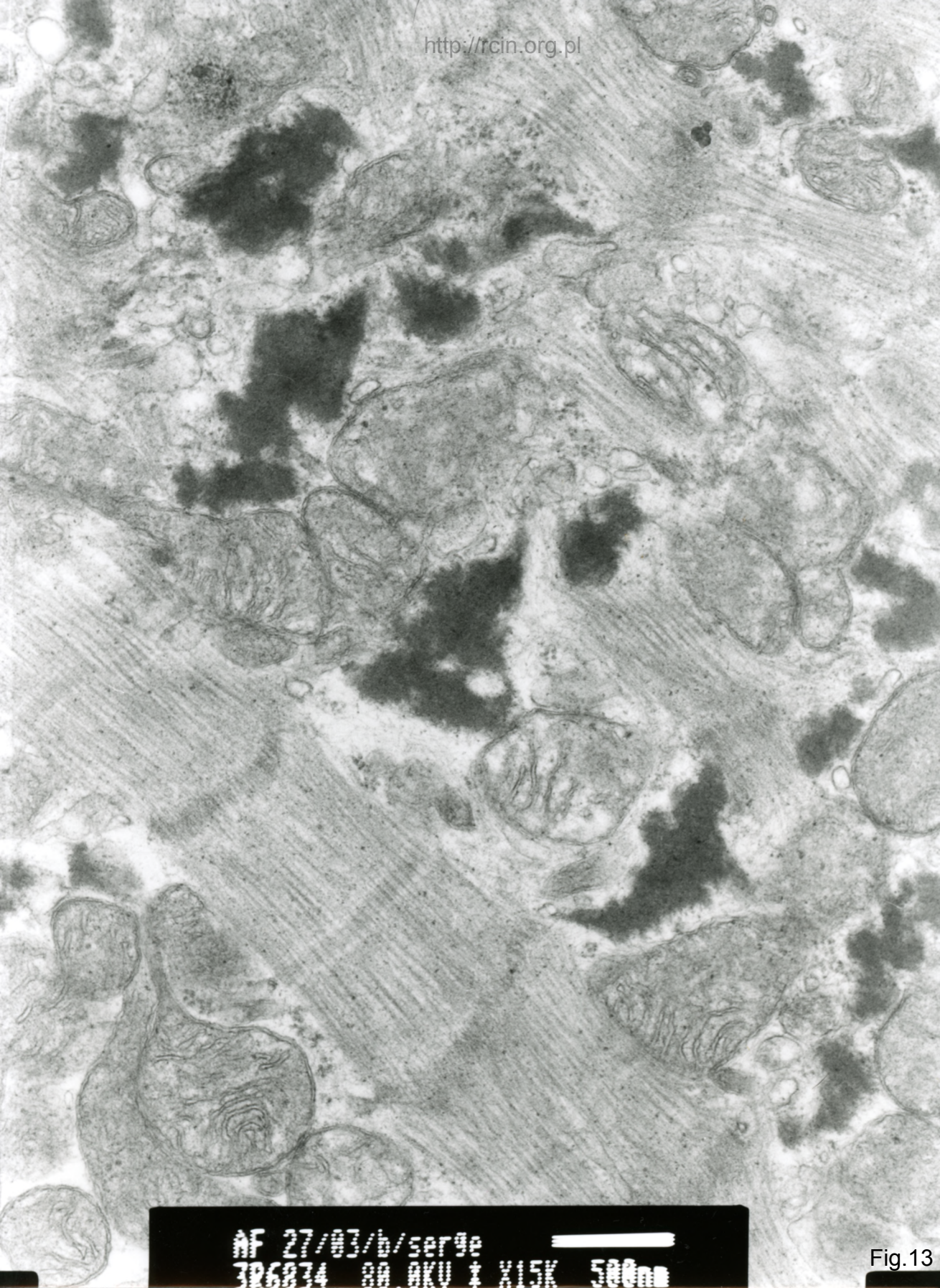




AF 27/03/serce  
3R6827 00 AKU 1 X10K 500nm

Fig.12

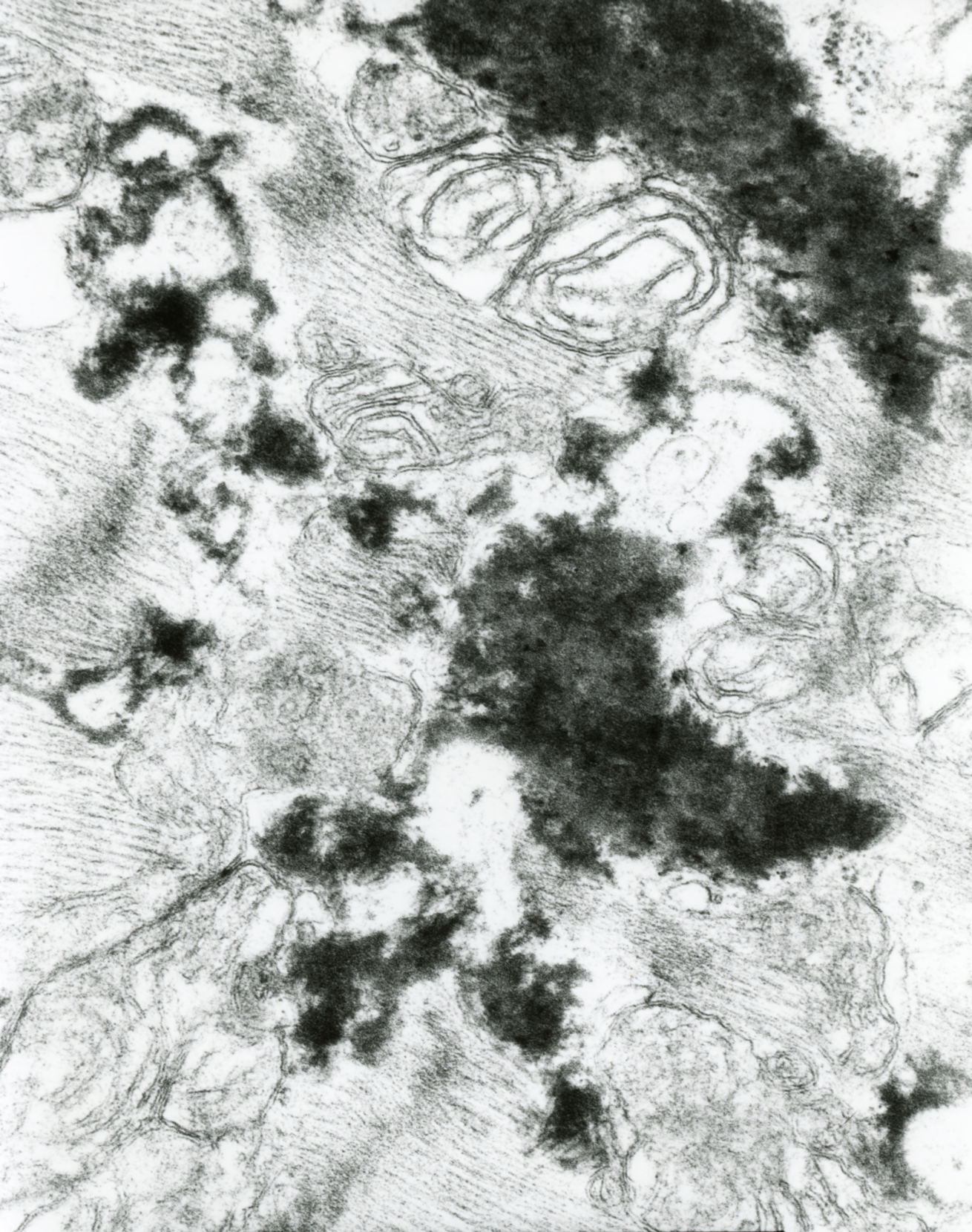




AF 27/03/b/ser9e  
3P6874 80 AKU ± X15K 500nm

Fig.13

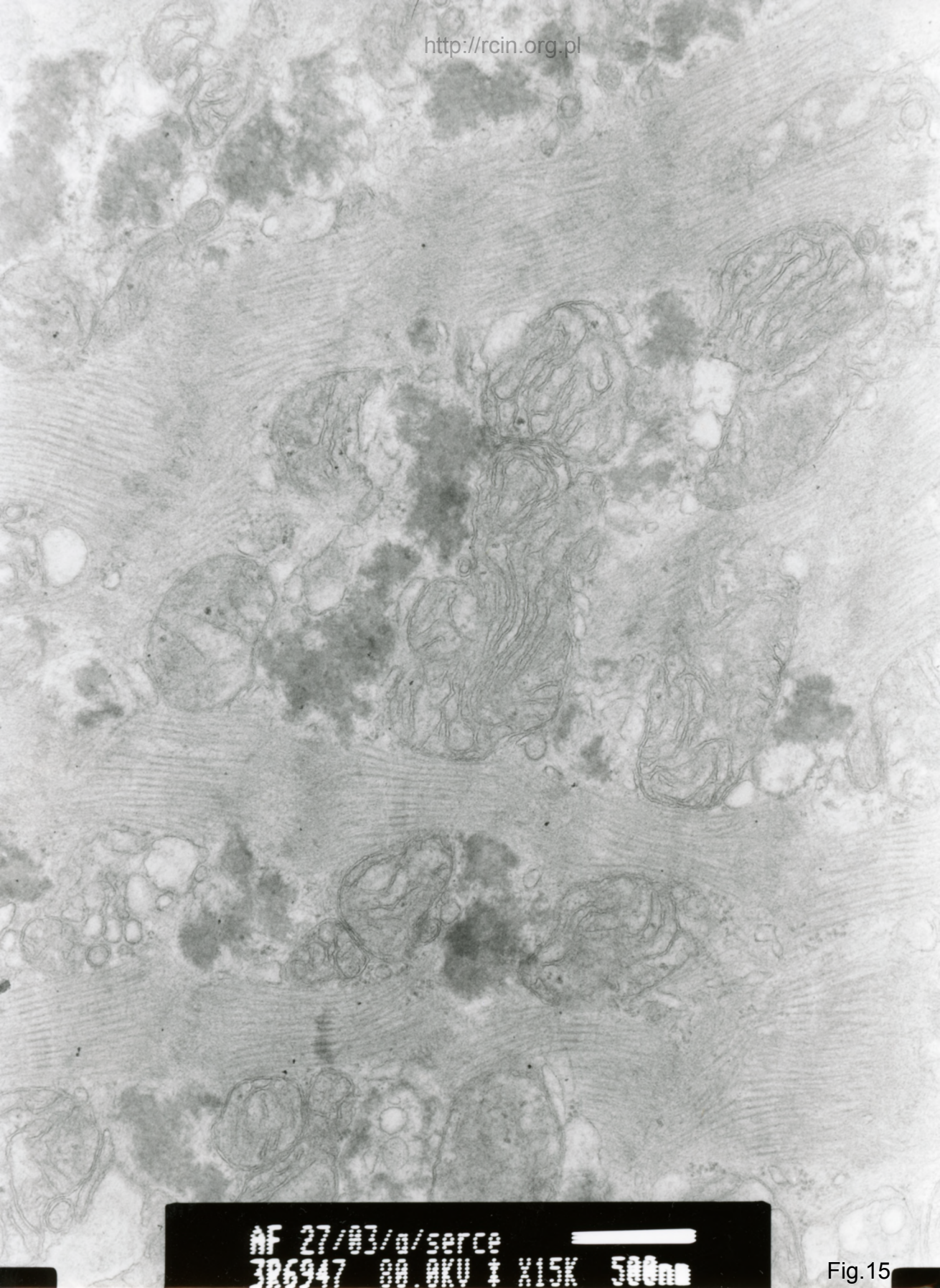




AF 27/03/serce  
3R6978 80.0KV † X20K 200nm

Fig.14

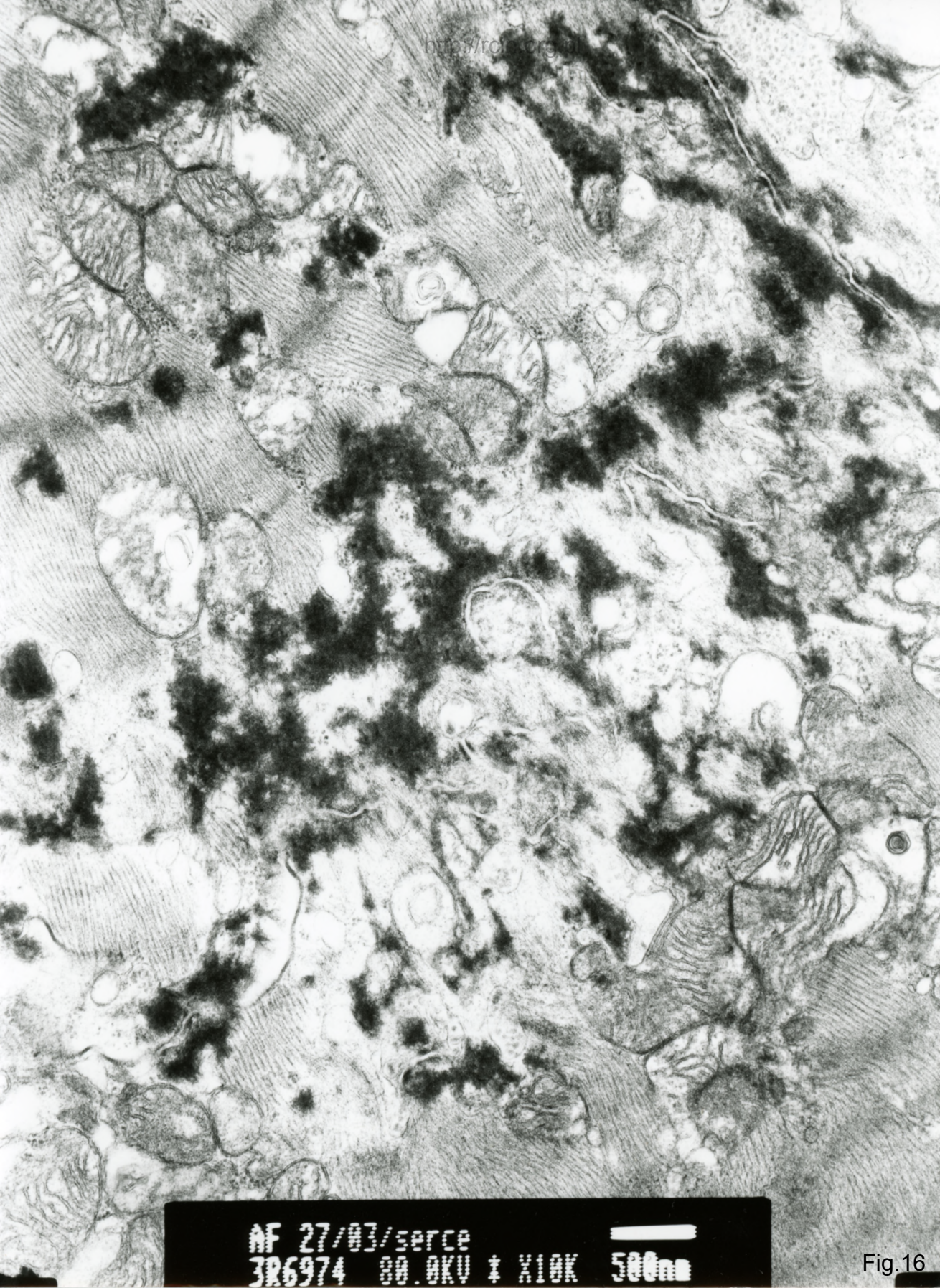




AF 27/03/a/serce  
3R6947 80.0KV X15K 500nm

Fig.15

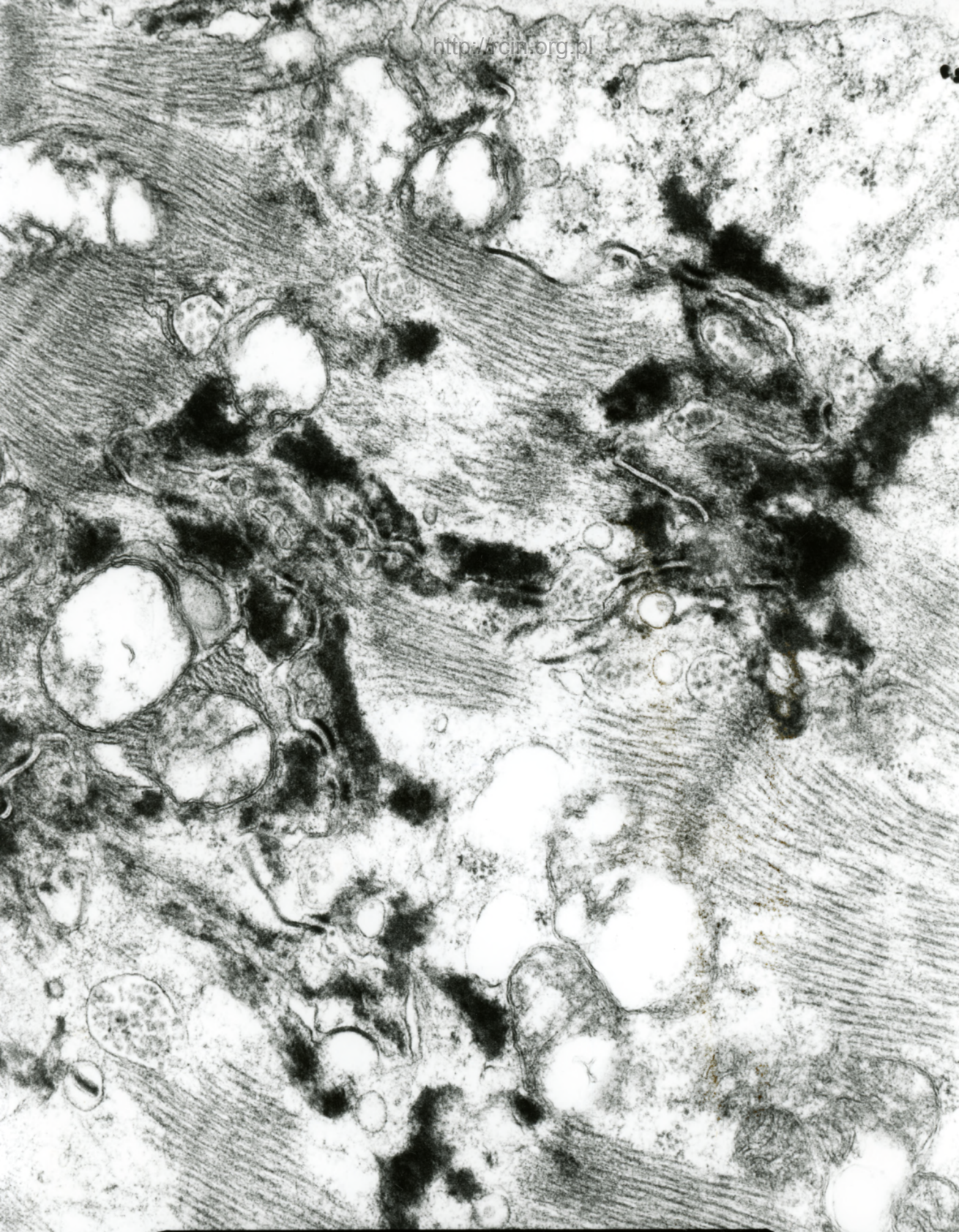




AF 27/03/serce  
3R6974 80.0KV ± X10K 500nm

Fig.16

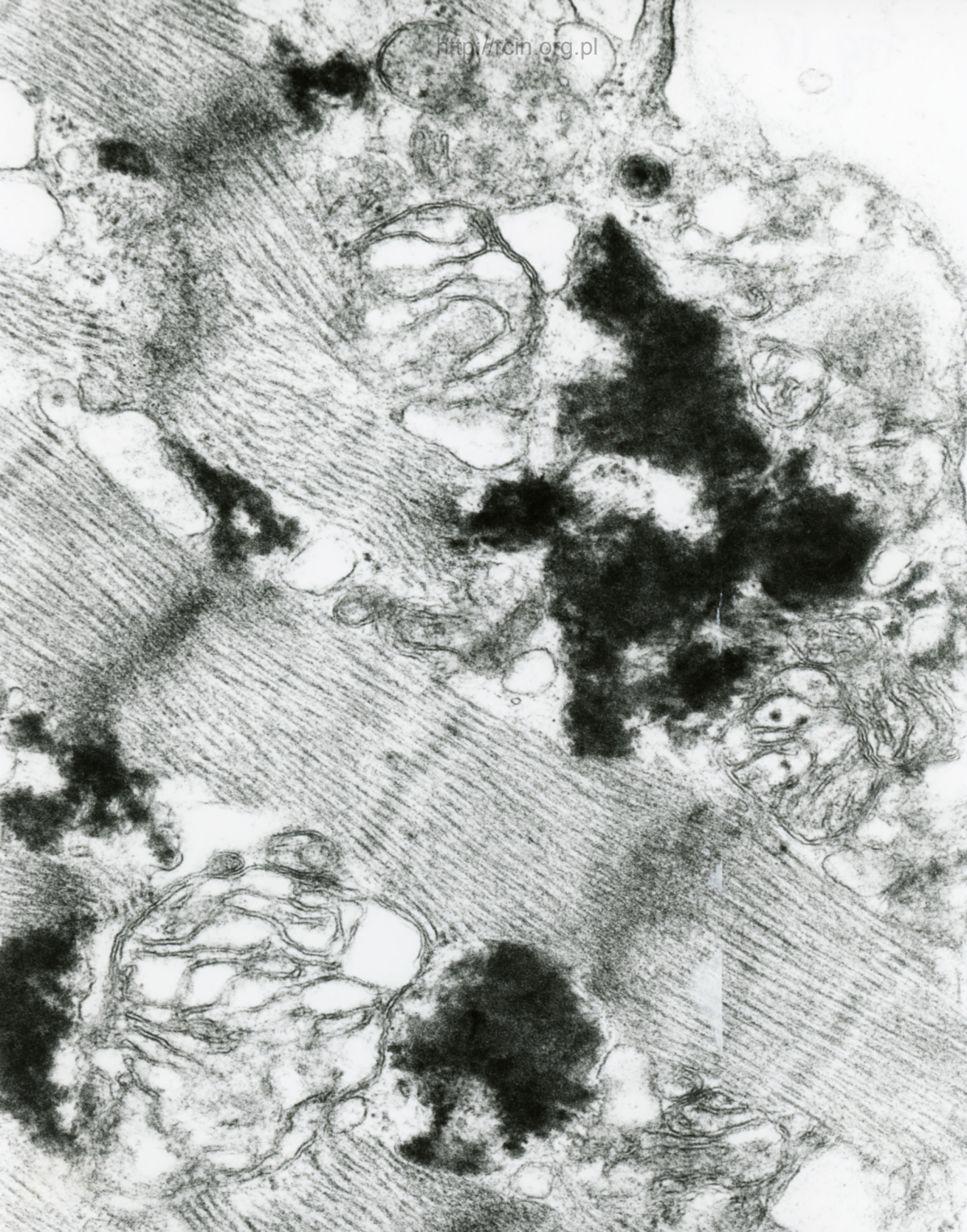




AF 27/03/serce  
3R6975 80 AKU ± X15K 500nm

Fig.17





AF 27/03/serce  
306979 80.0KV ± X20K 200nm

Fig.18



Przypadek 27/03 Serce (patrz też 188/02 – mięsień szkieletowy)

Rozpoznanie:

Ocena ultrastrukturalna wykazała zaburzenia w układzie sarkomerów i w przebiegu miofibrili, a miejscami ich znaczną dezorganizację i zanik (Fig. 1-5). W kardiomiocytach obserwowano odkładanie się elektronowo-gęstego, ziarnisto-włókienkowego materiału, szczególnie w rejonie linii Z (Fig. 6-14). Część mitochondriów wykazywała zmiany takie jak obrzmienie oraz częściowy ubytek, a nawet brak grzebieni mitochondrialnych (Fig. 15-18).

#### Summary

A 44-year-old patient was examined. An endomyocardial was performed.

Ultrastructural analysis revealed changes in sarcomere pattern and in the course of myofibrils, and focally myofibrils disruption and disorganization (Figs. 1-5). In cardiomyocytes, deposition of electron-dense, granulo-filamentous material was observed, especially in the Z-line region (Figs. 6-14). Some mitochondria revealed abnormalities in their structure such as swelling and partial or even complete loss of mitochondrial cristae (Figs. 15-18).